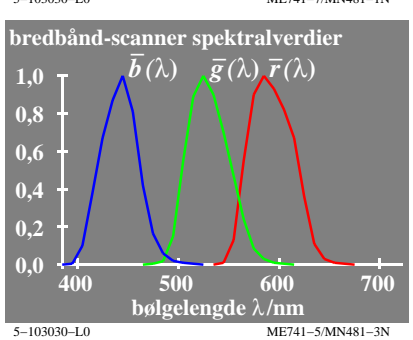
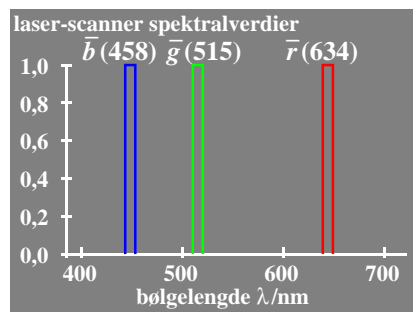
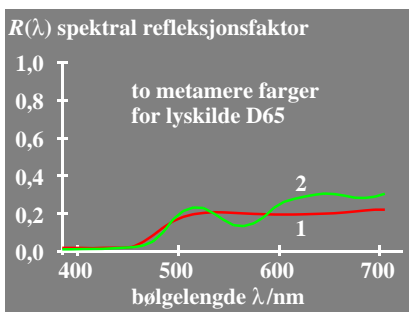
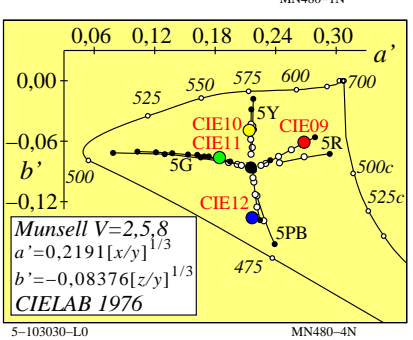
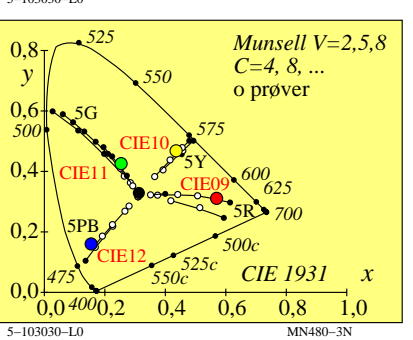


farge-egenskaper til den lavere og høyere fargemetrikk		type fargeblanding	
		dikromatisk	trikromatisk
lavere farge- eller valensmetrikk		(for $Y_- \geq B_-$ )	(for $R_- \geq G_- \geq B_-$ )
hvitverdi	$W$	$B_-$	$B_-$
sortverdi	$N$	$100 - Y_-$	$100 - R_-$
kulørverdi	$C$	$Y_- - B_-$	$R_- - B_-$
høyere farge- eller fornemmelsesmetrikk		(for $Y^*_- \geq B^*_-$ )	(for $R^*_- \geq G^*_- \geq B^*_-$ )
hvithet	$W^*$	$B^*_-$	$B^*_-$
sorthet	$N^*$	$100 - Y^*_-$	$100 - R^*_-$
kulørthet	$C^*$	$Y^*_- - B^*_-$	$R^*_- - B^*_-$



Fargegjengivelses-indeks $R_i$ av de to metamere BAM-scanner prøvefarger		
scanner	TC farge gjen-	fargedif-
	nings indeks	feranse
bredbånd	1	82
	2	84
laser	1	63
	2	69
ideell	1	100
	2	100

D65, fargejustering med hvitt papir

lavere fargemetrikk (fargedata: lineær relasjon til CIE 1931 data)		
lineære fargebetegnelser	navn og sammenheng med CIE tristimulus- eller kromatisitetsverdier	merknader
tristimulus-verdier	$X, Y, Z$	
kulørverdi	lineært kulørverdi diagram (A, B)	$n=D65$
rød-grønn	$A = [ X / Y - X_n / Y_n ] Y = [ a - a_n ] Y$ $= [ x / y - x_n / y_n ] Y$	(omfelt)
gul-blå	$B = -0,4 [ Z / Y - Z_n / Y_n ] Y = [ b - b_n ] Y$ $= -0,4 [ z / y - z_n / y_n ] Y$	
radiell	$C_{AB} = [ A^2 + B^2 ]^{1/2}$	
kromatisitet	lineært kromatisitetsdiagram (a, b)	sammenlign med li- near tappe-eksitasjon
rød-grønn	$a = X / Y = x / y$	$L / (L + M) = P / (P + D)$
gul-blå	$b = -0,4 [ Z / Y ] = -0,4 [ z / y ]$	$S / (L + M) = T / (P + D)$
radiell	$c_{ab} = [ (a - a_n)^2 + (b - b_n)^2 ]^{1/2}$	

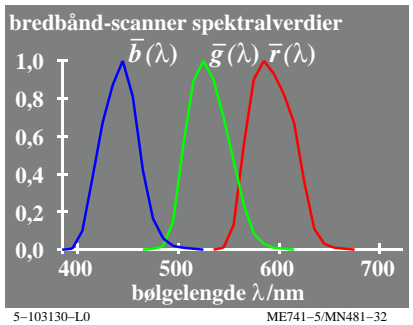
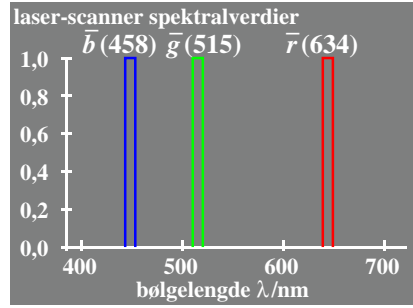
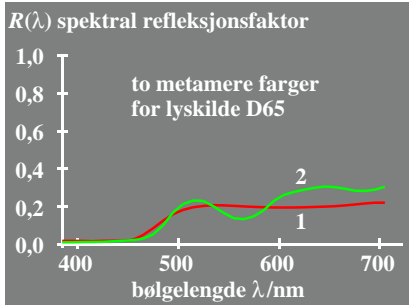
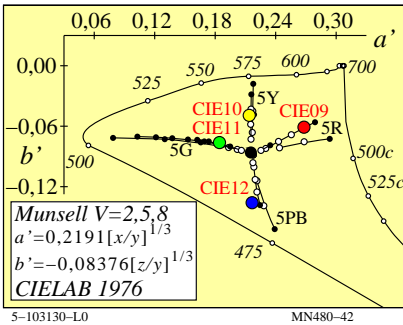
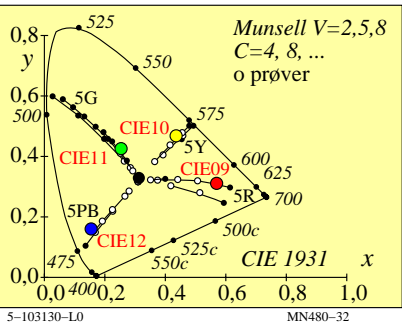
høyere fargemetrikk (fargedata: ikke-lineær relasjon til CIE 1931 data)		
ikke-lineære størrelser	navn og sammenheng med tristimulus- eller kromatisitetsverdier	merknader
lyshet	$L^* = 116 ( Y / 100 )^{1/3} - 16 \quad (Y > 0,8)$ tilnærming: $L^* = 100 ( Y / 100 )^{1/2,4} \quad (Y > 0)$	CIELAB 1976
kulørthet	ikke-lineær transformasjon av kulørverdier A, B	
rød-grønn	$a^* = 500 [ ( X / X_n )^{1/3} - ( Y / Y_n )^{1/3} ]$ $= 500 ( a' - a'_n ) Y^{1/3}$	CIELAB 1976
gul-blå	$b^* = 200 [ ( Y / Y_n )^{1/3} - ( Z / Z_n )^{1/3} ]$ $= 500 ( b' - b'_n ) Y^{1/3}$	CIELAB 1976
radiell	$C^*_{ab} = [ a^{*2} + b^{*2} ]^{1/2}$	$n=D65$ (omfelt)
kromatisitet	ikke-lineær transformasjon av kromatisiteter x/y, z/y	sammenlign med log tappe-eksitasjon
rød-grønn	$a' = ( 1 / X_n )^{1/3} ( x / y )^{1/3}$ $= 0,2191 ( x / y )^{1/3}$ for D65	$\log[L / (L+M)]$
gul-blå	$b' = -0,4 ( 1 / Z_n )^{1/3} ( z / y )^{1/3}$ $= -0,08376 ( z / y )^{1/3}$ for D65	$= \log[P / (P+D)]$
radiell	$c'_{ab} = [ ( a' - a'_n )^2 + ( b' - b'_n )^2 ]^{1/2}$	$\log[S / (L+M)]$ $= \log[T / (P+D)]$

se lignende filer: <http://130.149.60.45/~farbmetrik/MN48/MN48L0FA.TXT> /PS; start output  
teknisk informasjon: <http://www.ps.bam.de> eller <http://130.149.60.45/~farbmetrik>

TUB registrering: 20150701-MN48/MN48L0FA.TXT /.PS  
anvendelse for måling av display output

TUB materiell: code=rhadta

farge-egenskaper til den lavere og høyere fargemetrikk		type fargeblanding	
		dikromatisk	trikromatisk
<b>lavere farge- eller valensmetrikk</b>		(for $Y_{dd} \geq B_{dd}$ )	(for $R_{dd} \geq G_{dd} \geq B_{dd}$ )
hvitverdi	$W$	$B_{dd}$	$B_{dd}$
sortverdi	$N$	$100 - Y_{dd}$	$100 - R_{dd}$
kulørverdi	$C$	$Y_{dd} - B_{dd}$	$R_{dd} - B_{dd}$
<b>høyere farge- eller fornemmelsesmetrikk</b>		(for $Y^*_{dd} \geq B^*_{dd}$ )	(for $R^*_{dd} \geq G^*_{dd} \geq B^*_{dd}$ )
hvitthet	$W^*$	$B^*_{dd}$	$B^*_{dd}$
sortthet	$N^*$	$100 - Y^*_{dd}$	$100 - R^*_{dd}$
kulørthet	$C^*$	$Y^*_{dd} - B^*_{dd}$	$R^*_{dd} - B^*_{dd}$



Fargegjengivelses-indeks $R_i$ av de to metamere BAM-scanner prøvefarger		
scanner	TC farge gjengi- indeks	fargedif- vels indeks
bredbånd	1	82
	2	84
laser	1	63
	2	69
ideell	1	100
	2	100

D65, fargejustering med hvitt papir

lavere fargemetrikk (fargedata: lineær relasjon til CIE 1931 data)		
lineære fargebetegnelser	navn og sammenheng med CIE tristimulus- eller kromatisitetsverdier	merknader
tristimulus-verdier	$X, Y, Z$	
kulørverdi	lineært kulørverdi diagram (A, B)	$n=D65$
rød-grønn	$A = [ X/Y - X_n/Y_n ] Y = [ a - a_n ] Y$ $= [ x/y - x_n/y_n ] Y$	(omfelt)
gul-blå	$B = -0,4 [ Z/Y - Z_n/Y_n ] Y = [ b - b_n ] Y$ $= -0,4 [ z/y - z_n/y_n ] Y$	
radiell	$C_{AB} = [ A^2 + B^2 ]^{1/2}$	
kromatisitet	lineært kromatisitetsdiagram (a, b)	sammenlign med li- near tappe-eksitasjon
rød-grønn	$a = X/Y = x/y$	$L/(L+M) = P/(P+D)$
gul-blå	$b = -0,4 [ Z/Y ] = -0,4 [ z/y ]$	$S/(L+M) = T/(P+D)$
radiell	$c_{ab} = [ (a - a_n)^2 + (b - b_n)^2 ]^{1/2}$	

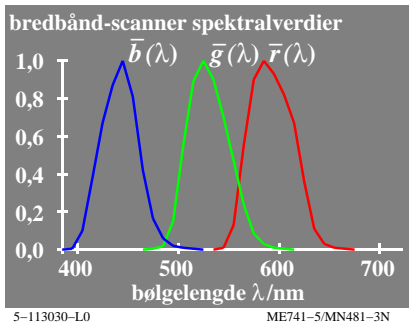
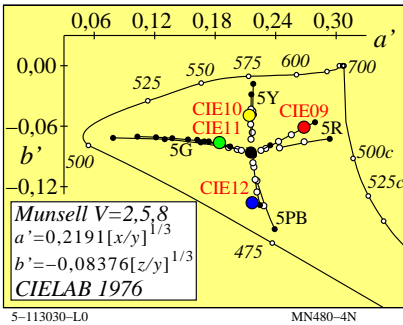
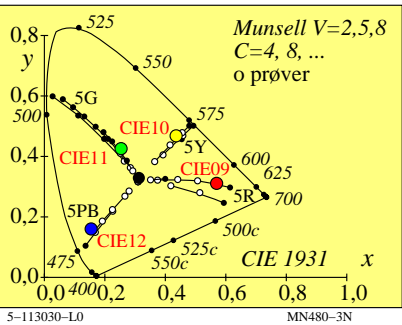
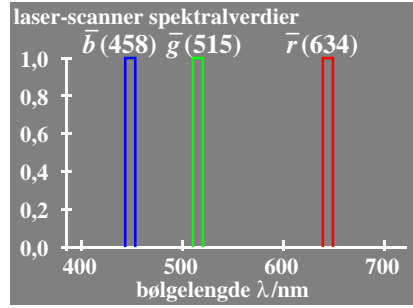
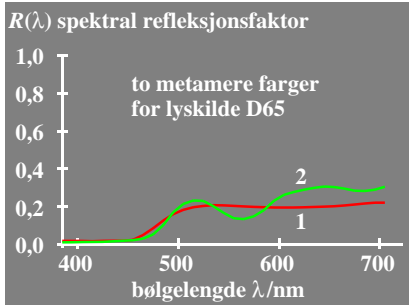
høyere fargemetrikk (fargedata: ikke-lineær relasjon til CIE 1931 data)		
ikke-lineære størrelser	navn og sammenheng med tristimulus- eller kromatisitetsverdier	merknader
lyshet	$L^* = 116 ( Y/100 )^{1/3} - 16 \quad (Y > 0,8)$ tilnærming: $L^* = 100 (Y/100)^{1/2,4} \quad (Y > 0)$	CIELAB 1976
kulørthet	ikke-lineær transformasjon av kulørverdier A, B	
rød-grønn	$a^* = 500 [ ( X/X_n )^{1/3} - ( Y/Y_n )^{1/3} ]$ $= 500 ( a' - a'_n ) Y^{1/3}$	CIELAB 1976
gul-blå	$b^* = 200 [ ( Y/Y_n )^{1/3} - ( Z/Z_n )^{1/3} ]$ $= 500 ( b' - b'_n ) Y^{1/3}$	CIELAB 1976
radiell	$C^*_{ab} = [ a^{*2} + b^{*2} ]^{1/2}$	$n=D65$ (omfelt)
kromatisitet	ikke-lineær transformasjon av kromatisiteter x/y, z/y	sammenlign med log tappe-eksitasjon
rød-grønn	$a' = ( 1 / X_n )^{1/3} ( x / y )^{1/3}$ $= 0,2191 ( x / y )^{1/3}$ for D65	$\log[L / (L+M)]$
gul-blå	$b' = -0,4 ( 1 / Z_n )^{1/3} ( z / y )^{1/3}$ $= -0,08376 ( z / y )^{1/3}$ for D65	$= \log[P / (P+D)]$
radiell	$c'_{ab} = [ ( a' - a'_n )^2 + ( b' - b'_n )^2 ]^{1/2}$	$\log[S / (L+M)]$ $= \log[T / (P+D)]$

se lignende filer: http://130.149.60.45/~farbmetrik/MN48/MN48L0FA.TXT /PS  
 teknisk informasjon: http://www.ps.bam.de eller http://130.149.60.45/~farbmetrik

TUB registrering: 20150701-MN48/MN48L0FA.TXT /PS  
 anvendelse for måling av display output, ingen separasjon

TUB materiell: code=rh4da

farge-egenskaper til den lavere og høyere fargemetrikk		type fargeblanding	
		dikromatisk	trikromatisk
<b>lavere farge- eller valensmetrikk</b>		(for $Y_- \geq B_-$ )	(for $R_- \geq G_- \geq B_-$ )
hvitverdi	$W$	$B_-$	$B_-$
sortverdi	$N$	$100 - Y_-$	$100 - R_-$
kulørverdi	$C$	$Y_- - B_-$	$R_- - B_-$
<b>høyere farge- eller fornemmelsesmetrikk</b>		(for $Y^*_- \geq B^*_-$ )	(for $R^*_- \geq G^*_- \geq B^*_-$ )
hvitthet	$W^*$	$B^*_-$	$B^*_-$
sortthet	$N^*$	$100 - Y^*_-$	$100 - R^*_-$
kulørthet	$C^*$	$Y^*_- - B^*_-$	$R^*_- - B^*_-$



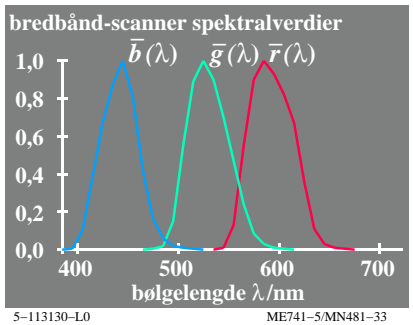
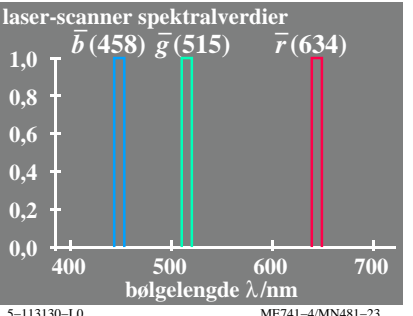
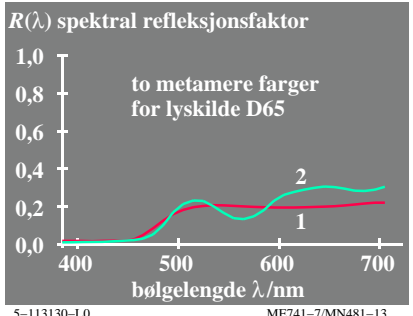
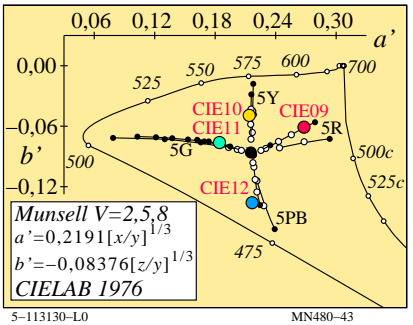
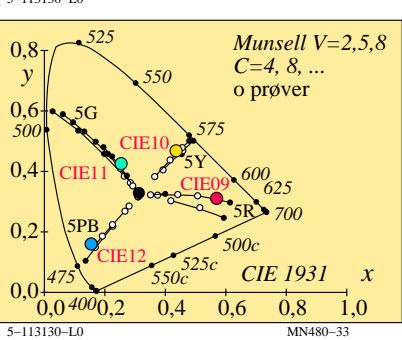
Fargegjengivelses-indeks $R_i$ av de to metamere BAM-scanner prøvefarger			
scanner	TC farge gjengi-	fargedif-	feranse
	indeks	feranse	
bredbånd	1	82	3
	2	84	
laser	1	63	10
	2	69	
ideell	1	100	0
	2	100	

**D65, fargejustering med hvitt papir**

lavere fargemetrikk (fargedata: lineær relasjon til CIE 1931 data)		
lineære fargebetegnelser	navn og sammenheng med CIE tristimulus- eller kromatisitetsverdier	merknader
tristimulus-verdier	$X, Y, Z$	
kulørverdi	lineært kulørverdi diagram (A, B)	$n=D65$
rød-grønn	$A = [ X/Y - X_n/Y_n ] Y = [ a - a_n ] Y$ $= [ x/y - x_n/y_n ] Y$	(omfelt)
gul-blå	$B = -0,4 [ Z/Y - Z_n/Y_n ] Y = [ b - b_n ] Y$ $= -0,4 [ z/y - z_n/y_n ] Y$	
radiell	$C_{AB} = [ A^2 + B^2 ]^{1/2}$	
kromatisitet	lineært kromatisitetsdiagram (a, b)	sammenlign med li-
rød-grønn	$a = X/Y = x/y$	near tappe-eksitasjon
gul-blå	$b = -0,4 [ Z/Y ] = -0,4 [ z/y ]$	$L/(L+M) = P/(P+D)$
radiell	$c_{ab} = [ (a - a_n)^2 + (b - b_n)^2 ]^{1/2}$	$S/(L+M) = T/(P+D)$

høyere fargemetrikk (fargedata: ikke-lineær relasjon til CIE 1931 data)		
ikke-lineære størrelser	navn og sammenheng med tristimulus- eller kromatisitetsverdier	merknader
lyshet	$L^* = 116 ( Y/100 )^{1/3} - 16 \quad (Y > 0,8)$ tilnærming: $L^* = 100 ( Y/100 )^{1/2,4} \quad (Y > 0)$	CIELAB 1976
kulørthet	ikke-lineær transformasjon av kulørverdier A, B	
rød-grønn	$a^* = 500 [ ( X/X_n )^{1/3} - ( Y/Y_n )^{1/3} ]$ $= 500 ( a' - a'_n ) Y^{1/3}$	CIELAB 1976
gul-blå	$b^* = 200 [ ( Y/Y_n )^{1/3} - ( Z/Z_n )^{1/3} ]$ $= 500 ( b' - b'_n ) Y^{1/3}$	CIELAB 1976
radiell	$C^*_{ab} = [ a^{*2} + b^{*2} ]^{1/2}$	$n=D65$ (omfelt)
kromatisitet	ikke-lineær transformasjon av kromatisiteter x/y, z/y	sammenlign med log tappe-eksitasjon
rød-grønn	$a' = ( 1/X_n )^{1/3} ( x/y )^{1/3}$ $= 0,2191 ( x/y )^{1/3}$ for D65	$\log[L / (L+M)]$
gul-blå	$b' = -0,4 ( 1/Z_n )^{1/3} ( z/y )^{1/3}$ $= -0,08376 ( z/y )^{1/3}$ for D65	$= \log[P / (P+D)]$
radiell	$c'_{ab} = [ ( a' - a'_n )^2 + ( b' - b'_n )^2 ]^{1/2}$	$\log[S / (L+M)]$ $= \log[T / (P+D)]$

farge-egenskaper til den lavere og høyere fargemetrikk		type fargeblanding	
		dikromatisk	trikromatisk
<b>lavere farge- eller valensmetrikk</b>		(for $Y_{de} \geq B_{de}$ )	(for $R_{de} \geq G_{de} \geq B_{de}$ )
hvitverdi	$W$	$B_{de}$	$B_{de}$
sortverdi	$N$	$100 - Y_{de}$	$100 - R_{de}$
kulørverdi	$C$	$Y_{de} - B_{de}$	$R_{de} - B_{de}$
<b>høyere farge- eller fornemmelsesmetrikk</b>		(for $Y^*_{de} \geq B^*_{de}$ )	(for $R^*_{de} \geq G^*_{de} \geq B^*_{de}$ )
hvitthet	$W^*$	$B^*_{de}$	$B^*_{de}$
sortthet	$N^*$	$100 - Y^*_{de}$	$100 - R^*_{de}$
kulørthet	$C^*$	$Y^*_{de} - B^*_{de}$	$R^*_{de} - B^*_{de}$



Fargegjengivelses-indeks $R_i$ av de to metamere BAM-scanner prøvefarger			
scanner	TC farge gjengi-	fargedif-	feranse
	indeks	feranse	
bredbånd	1	82	3
	2	84	
laser	1	63	10
	2	69	
ideell	1	100	0
	2	100	

**D65, fargejustering med hvitt papir**

lavere fargemetrikk (fargedata: lineær relasjon til CIE 1931 data)		
lineære fargebetegnelser	navn og sammenheng med CIE tristimulus- eller kromatisitetsverdier	merknader
tristimulus-verdier	$X, Y, Z$	
kulørverdi	lineært kulørverdi diagram (A, B)	$n=D65$
rød-grønn	$A = [ X/Y - X_n/Y_n ] Y = [ a - a_n ] Y$ $= [ x/y - x_n/y_n ] Y$	(omfelt)
gul-blå	$B = -0,4 [ Z/Y - Z_n/Y_n ] Y = [ b - b_n ] Y$ $= -0,4 [ z/y - z_n/y_n ] Y$	
radiell	$C_{AB} = [ A^2 + B^2 ]^{1/2}$	
kromatisitet	lineært kromatisitetsdiagram (a, b)	sammenlign med li-
rød-grønn	$a = X/Y = x/y$	near tappe-eksitasjon
gul-blå	$b = -0,4 [ Z/Y ] = -0,4 [ z/y ]$	$L/(L+M) = P/(P+D)$
radiell	$c_{ab} = [ (a - a_n)^2 + (b - b_n)^2 ]^{1/2}$	$S/(L+M) = T/(P+D)$

høyere fargemetrikk (fargedata: ikke-lineær relasjon til CIE 1931 data)		
ikke-lineære størrelser	navn og sammenheng med tristimulus- eller kromatisitetsverdier	merknader
lyshet	$L^* = 116 ( Y/100 )^{1/3} - 16 \quad (Y > 0,8)$ tilnærming: $L^* = 100 (Y/100)^{1/2,4} \quad (Y > 0)$	CIELAB 1976
kulørthet	ikke-lineær transformasjon av kulørverdier A, B	
rød-grønn	$a^* = 500 [ ( X/X_n )^{1/3} - ( Y/Y_n )^{1/3} ]$ $= 500 ( a' - a'_n ) Y^{1/3}$	CIELAB 1976
gul-blå	$b^* = 200 [ ( Y/Y_n )^{1/3} - ( Z/Z_n )^{1/3} ]$ $= 500 ( b' - b'_n ) Y^{1/3}$	CIELAB 1976
radiell	$C^*_{ab} = [ a^{*2} + b^{*2} ]^{1/2}$	$n=D65$ (omfelt)
kromatisitet	ikke-lineær transformasjon av kromatisiteter x/y, z/y	sammenlign med log tappe-eksitasjon
rød-grønn	$a' = ( 1/X_n )^{1/3} ( x/y )^{1/3}$ $= 0,2191 ( x/y )^{1/3}$ for D65	$\log[L / (L+M)]$
gul-blå	$b' = -0,4 ( 1/Z_n )^{1/3} ( z/y )^{1/3}$ $= -0,08376 ( z/y )^{1/3}$ for D65	$= \log[P / (P+D)]$
radiell	$c'_{ab} = [ ( a' - a'_n )^2 + ( b' - b'_n )^2 ]^{1/2}$	$\log[S / (L+M)]$ $= \log[T / (P+D)]$